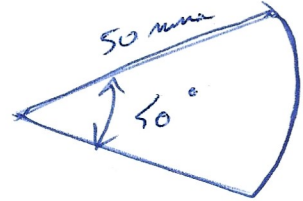


Correction DS MP, octobre 21, Vision augmentée

Q1 $t = 50 + 5 + 20 + 5 = 80 \text{ ms} < 120 \text{ ms}$ OK

Q2



$360^\circ \rightarrow 2\pi R$
 $50^\circ \rightarrow 2\pi R \frac{50}{360} \rightarrow 1024 \text{ pixels.}$
 $2\pi R \frac{50}{360} \frac{1}{1024} \text{ mm} \rightarrow 1 \text{ pixel}$

$\Rightarrow 1 \text{ pixel} = 0,034 \text{ mm}$

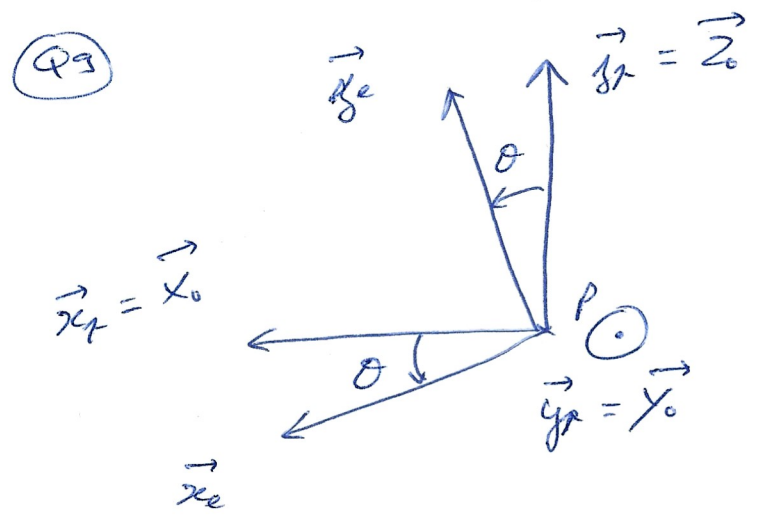
Resolution: 1m pour 1km $\Rightarrow 0,05 \text{ mm pour } 50 \text{ cm}$
 $0,034 < 0,05$ OK.

Q3 $1024 \text{ pixels} \rightarrow 2\pi \frac{50}{360} = \frac{2\pi}{9} \text{ rad.}$
 $1 \text{ pixel} \rightarrow \frac{2\pi}{9 \times 1024} = 6,8 \cdot 10^{-5} \text{ rad}$

Q4 Liaison équivalente (dans la base B_a) $\rightarrow \begin{Bmatrix} 0 & 0 \\ \delta_{ca} & 0 \\ \delta_{cp} & 0 \end{Bmatrix}_P$
 \Rightarrow rotule à doigt

Q5 Caméra (2 mobilités) \longleftrightarrow Tête (3 mobilités)
 L'algorithme doit calculer les courbes de mouvement de la caméra en fonction des mouvements de la tête.

Q6 L'inertie de la charge sur (P, \vec{z}_p) est constante.



② Dans la base $(\vec{x}_e, \vec{y}_e, \vec{z}_e)$ $\vec{PP}_0 = d \cdot \vec{x}_e$

$$\vec{I}(P, opt) = \begin{pmatrix} A_0 & 0 & 0 \\ 0 & B_0 & 0 \\ 0 & 0 & B_0 \end{pmatrix} + m_0 \begin{pmatrix} 0 & 0 & 0 \\ 0 & d^2 & 0 \\ 0 & 0 & d^2 \end{pmatrix} \quad (\text{HUYGENS})$$

$$\Rightarrow \vec{I}(P, k) = \begin{pmatrix} A_{opt} + A_0 & 0 & 0 \\ 0 & B_{opt} + B_0 + m_0 d^2 & 0 \\ 0 & 0 & A_{opt} + B_0 + m_0 d^2 \end{pmatrix} = \begin{pmatrix} A \\ B \\ A \end{pmatrix}$$

$$\vec{PG}_k = \frac{\vec{PP}_0 \cdot m_{opt} + \vec{PP}_0 \cdot m_0}{m_{opt} + m_0} = \frac{d m_0}{m_{opt}} \vec{x}_e = a \cdot \vec{x}_e$$

Q10 $\vec{v}(G_k, k/R_0) = \vec{v}(P, k/R_0) + \vec{\Omega}^{k/R_0} \wedge \vec{PG}_k$
 $= v \cdot \vec{z}_0 + \dot{\theta} \vec{y}_0 \wedge a \vec{x}_e = v \cdot \vec{z}_0 - a \dot{\theta} \vec{y}_e$

Q11 $\vec{J}(P, k/R_0) = \vec{I}(P, k) \underbrace{\vec{\Omega}^{k/R_0}}_{\dot{\theta} \vec{y}_e} + m_{opt} \underbrace{\vec{PG}_k}_{a \vec{x}_e} \wedge \underbrace{\vec{v}(P, k/R_0)}_{v \vec{z}_0}$

$$\vec{J}(P, k/R_0) = B \dot{\theta} \vec{y}_0 - m_{opt} a v \cos \theta \vec{y}_0 = (B \dot{\theta} - m_{opt} a v \cos \theta) \vec{y}_0$$

$$\vec{S}(P, k/R_0) = \cancel{B \ddot{\theta} + m_{opt} a v \dot{\theta} \cos \theta + m_{opt} a} \left[B \ddot{\theta} - m_{opt} a (\dot{\theta} \cos \theta - v \dot{\theta} \sin \theta) \right] \vec{y}_0 + m_{opt} \underbrace{v \vec{z}_0}_{v \vec{z}_0} \wedge \underbrace{v \vec{z}_0 - a \dot{\theta} \vec{y}_e}_{v \vec{z}_0 - a \dot{\theta} \vec{y}_e}$$

$$\vec{S}(P, k/R_0) = (B \ddot{\theta} - m_{opt} a \dot{\theta} \cos \theta) \vec{y}_0 + a v \dot{\theta} \sin \theta \vec{y}_0$$

TID sur $(P, \vec{y}_0) \Rightarrow B \ddot{\theta} - m_{opt} a \dot{\theta} \cos \theta = C_m + m_0 g d \cos \theta$

Q12 $C_{pert} = m_0 g d \cos \theta + m_{opt} a \dot{\theta} \cos \theta$

avec $a = \frac{d m_0}{m_{opt}}$ on a $C_{pert} = m d (g + \dot{\theta}) \cos \theta$

C_{pert} max pour $\theta = 0$

③ Q13 "BABAR": $\vec{v}(A, R/R_0) = \vec{v}(G, R/R_0) + \underbrace{\vec{AP}_1}_{-r\vec{x}_2} \underbrace{\dot{\Omega}_{R/R_0}}_{\dot{\theta}\vec{y}_0}$

$$\vec{v}(A, R/R_0) = v(t)\vec{z}_0 + r\dot{\theta}\vec{y}_0$$

Composition de mouvement: $\vec{v}(A, R/R_0) = \vec{v}(A, R/G) + \vec{v}(A, G/R_0)$

$$\vec{v}(A, R/R_0) = \vec{v}_{\text{vis}}(t) + v(t)\vec{z}_0$$

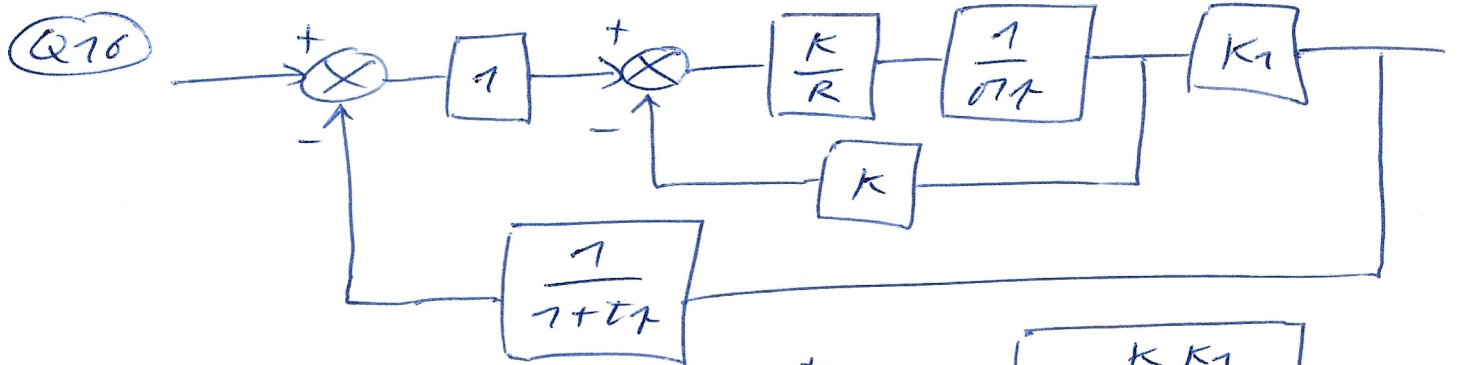
$$\Rightarrow v_{\text{vis}}(t) = r\dot{\theta}$$

Q14 TID appliqué à (R) sur (P, \vec{y}_0) \Rightarrow Bf. $\dot{\omega}(t) = r \cdot F_{\text{mot}}(t)$

On applique la TL \Rightarrow Bf $\tau \Omega(\tau) = r F_{\text{mot}}(\tau)$

$$\frac{F_{\text{mot}}(\tau)}{\Omega(\tau)} = \frac{r}{Bf \cdot \tau}$$

Q15 ? $\frac{1}{1 + T_{\text{gyro}} \tau} \Rightarrow T_{\text{gyro}} = \frac{1}{2\pi f} = \frac{1}{200\pi} = 1,6 \text{ ms}$



$$H_1(\tau) = \frac{K}{R\tau + K^2}$$

$$FTBF(\tau) =$$

$$FTBF(\tau) = \frac{KK_1(1+sT)}{(R\tau + K^2)(1+sT) + KK_1}$$

$$FTBF(\tau) = \frac{K_1}{K + K_1} \frac{1+sT}{\frac{R\tau}{K(K+K_1)} \tau^2 + \frac{K^2\tau + R\tau}{K(K+K_1)} \tau + 1}$$